

Франц Герман

Аналитическая теория поверхностей Мёбиуса

franz.h-n@yandex.ru

Содержание

1. Введение	стр. 1
2 Уравнения полуконусов	стр. 4
3. Преобразование ортогональных пространственных координат	стр. 5
4. Топология поверхности	стр. 11
5. Линия самопересечения	стр. 16
Приложение 1. Векторное уравнение конической поверхности	стр. 23
Приложение 2. Преобразование Эйлера	стр. 27
Литература	стр. 29

1. Введение

О поверхности Мёбиуса (пМ) мы уже упоминали в других работах, например [2], стр.22-30, [14], стр.218. Напомним в двух словах, что мы имеем в виду, когда говорим о пМ.

Все конечно знают, что такое лист Мёбиуса. Берётся прямоугольная полоска бумаги, достаточной длины относительно её ширины, перекручивается на **180°** и склеивается противоположными (короткими) сторонами. Не путайте с односторонней поверхностью, о которой говорится в учебниках по дифф. геометрии, например [1]. Склейенный лист Мёбиуса имеет кривизну поверхности равную нулю, как и у евклидовой плоскости. Именно такой лист мёбиуса и является частью поверхности Мёбиуса.

Сделать самому пМ довольно трудно. Но если обрезать в развёртке длину некоторых образующих конусов, чтобы при изготовлении избежать самопересечений поверхности, то частичное подобие такой поверхности всё-таки построить можно. Мы даже попытались показать на ней, как выглядит традиционный лист Мёбиуса.

Как известно [2], состоит пМ из 4 полуконусов, плавно переходящих друг в друга (Рис.1).



Рис. 1

В данной работе будет показан вывод уравнений такой поверхности.

Для удобства построения нам понадобится каркас, основа, на которой будет строиться вся поверхность.

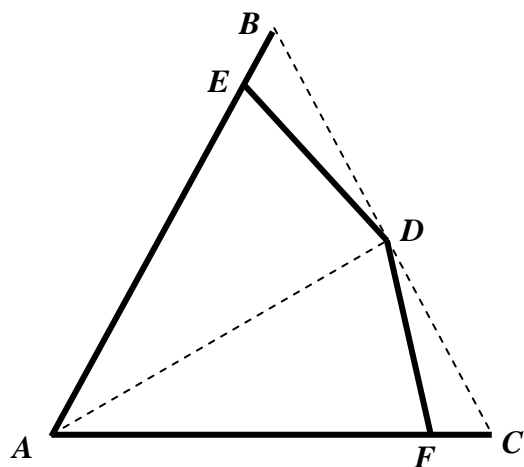


Рис. 2

Что представляет собой каркас. Треугольник ABC – равносторонний, $AF = AD = AE$. Очевидно, что $BD = DC$. Жирными отрезками выделены будущие диаметры для оснований полуконусов. Напомним, все четыре полуконуса – являются правильными фигурами (у правильного конуса образующая имеет постоянную длину). Треугольник ABC принадлежит будущей фигуре. В принципе, можно при построении каркас и не использовать, но с ним легче и понятней.

Теперь немного развернём каркас образующих и покажем каркасы оснований полуконусов (полуокружности), которые образуют искомую поверхность (Рис. 3).

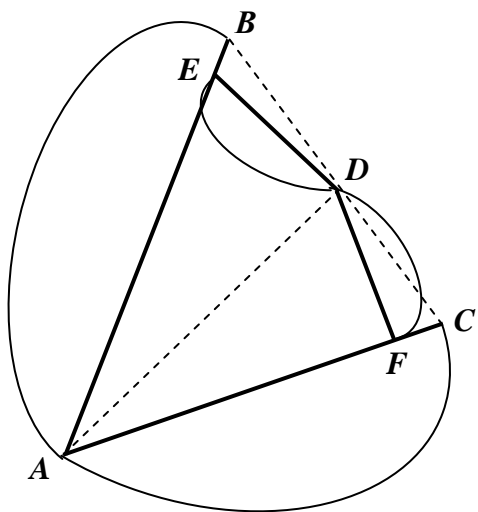


Рис. 3

Полуконус ABC с вершиной в точке B лежит над плоскостью рисунка (плоскостью каркаса образующих). Полуконус BCA с вершиной в точке C лежит под плоскостью рисунка и его поверхность является продолжением первого полуконуса. У них общая образующая BC . Поверхность полуконуса FAD продолжает поверхность второго полуконуса и лежит над плоскостью рисунка. Четвёртый полуконус DAE лежит под плоскостью рисунка и его поверхность замыкает всю фигуру, плавно переходя в первый полуконус.

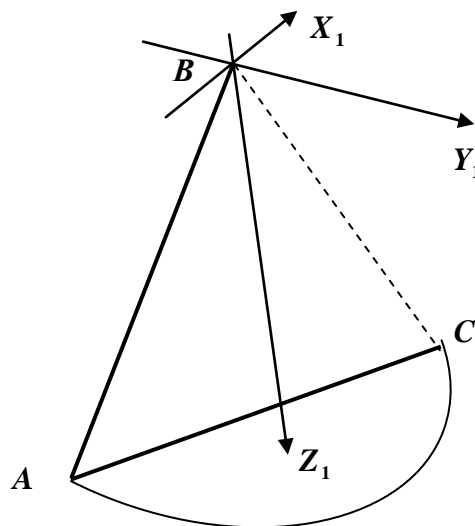


Рис. 4

2. Уравнения полуконусов.

Введём систему координат, как показано на Рис. 4. Ось Z проходит через середину отрезка AC и точку B . Тогда уравнение прямого кругового конуса в общем виде будет иметь вид:

$$Z^2 = \frac{c^2}{a^2} (X^2 + Y^2), \quad (1)$$

где $c = AD$, $a = DC$ (Рис. 3) для первых двух полуконусов и $c = AD \cdot \cos(15^\circ)$, $a = AD \cdot \sin(15^\circ)$ для третьего и четвёртого полуконусов.

В цилиндрических координатах (R , φ , Z) будем иметь уравнения [8]:

$$R_n = Z_n \cdot \operatorname{Tg}\left(\frac{\alpha}{2}\right), \quad (2)$$

где α - угол при вершине конуса.

Очевидно, что уравнение полуконуса будет выглядеть точно так же только при этом необходимо указывать границы координаты $\varphi \in [0, \pi]$.

Т. о. уравнение первого полуконуса будет иметь вид: $R_1 = \frac{\sqrt{3}}{3} \cdot Z_1$.

Второй полуконус имеет точно такое же уравнение. Уравнение третьего полуконуса имеет выражение: $R_3 = (2 - \sqrt{3}) \cdot Z_3$. Аналогично, и уравнение четвёртого полуконуса.

Очевидно, что уравнения наших конусов связаны простым коэффициентом: $k = \sqrt{3} \cdot (2 - \sqrt{3})$, т. е. $R_3 = k \cdot R_1$.

Т. о., пМ можно описать совокупностью таких уравнений и действий:

$$\begin{cases} R_1 = \frac{\sqrt{3}}{3} Z_1 \\ (X_1, Y_1, Z_1) \xrightarrow{A_1} (X_2, Y_2, Z_2), R_1 \\ (X_2, Y_2, Z_2) \xrightarrow{A_2} (X_3, Y_3, Z_3), k \cdot R_1 \\ (X_3, Y_3, Z_3) \xrightarrow{A_3} (X_4, Y_4, Z_4), k \cdot R_1 \end{cases}, \quad (3)$$

здесь A_i - матрица перехода от одной координатной системы к другой.

В **Приложении 1** будет показан вывод векторного уравнения полуконуса. Это понадобится нам для того, чтобы показать, как на пМ строится лист Мёбиуса.

3. Преобразование ортогональных пространственных координат.

Теперь надо увязать вместе все наши четыре полуконуса.

Каждый из четырёх полуконусов описывается в собственной системе координат. Это можно понять из устройства каркаса (Рис. 2). Помним, что все системы координат одинаково ориентированы, как на Рис. 4.

Будем обозначать ось, перпендикулярную к плоскости рисунка и направленную вверх значком: \bullet , а направленную вниз - \circ .

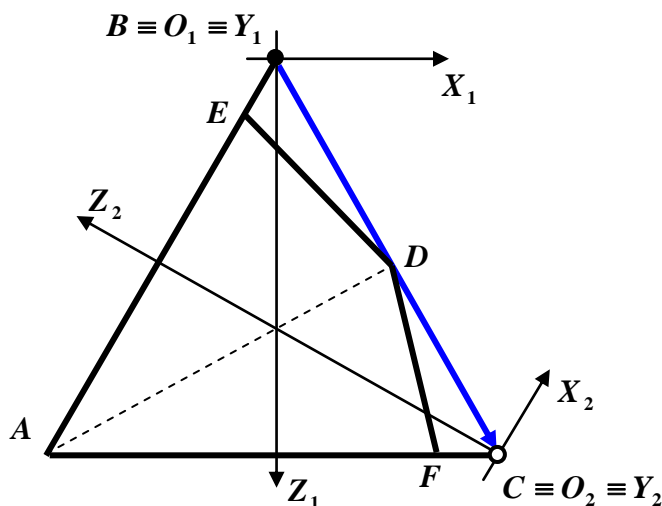


Рис. 5

На Рис. 4 показаны координатные системы первого и второго полуконусов X_1, Y_1, Z_1 и X_2, Y_2, Z_2 соответственно. Вектор $\overrightarrow{s_{12}} = \overrightarrow{O_1 O_2} = \frac{1}{2}l \cdot (\sqrt{3} \cdot \vec{k} + \vec{i})$ - вектор сдвига от центра (точка O_1) одной координатной системы к центру (точка O_2) другой. Здесь $l = AB$ - длина образующей полуконусов (Рис. 3).

Не на долго оставим наше исследование и рассмотрим в общем виде вопрос о преобразовании координат при переходе от одной системы к другой. Условимся считать, что системы координат имеют общее начало (с этой целью мы и ввели вектор сдвига) и одинаково ориентированы.

Можно по-разному строить такие преобразования.

В большинстве учебников по аналитической геометрии рассматривается метод Эйлера. Для построения таких преобразований используется промежуточная ось вращения [4]. Мы будем строить преобразования используя вращения вокруг уже существующих осей. На наш взгляд такой подход проще для практических расчётов.

Построим матрицу перехода от одной системы координат к другой

Итак, имеем две одинаково ориентированные системы координат: X_1, Y_1, Z_1 и X_2, Y_2, Z_2 (Рис. 5). Начало координат у них общее.

Введём обозначения для дополнительных плоскостей: $P \equiv X_1 OY_1$, $Q \equiv Z_2 OX_2$, $R \equiv Z_1 OY_2$,

Для перехода от одной системы координат к другой достаточно трёх поворотов. Сейчас мы в этом убедимся.

Первый поворот осуществляем вокруг оси OZ_1 против часовой стрелки до совмещения оси OY_1 с плоскостью R . При этом ось OY_1 переходит в ось OY^* , ось OX_1 - в ось OX^* . Обозначим угол $\angle Y_1 OY^* = \alpha$.

Второй поворот совершаём вокруг вновь образованной оси OX^* также против часовой стрелки до совмещения оси OY^* с осью OY_2 . При этом ось OZ_1 переходит в ось OZ^* . Обозначим угол $\angle Y^* OY_2 = \beta$.

Третий поворот надо осуществить снова против часовой стрелки вокруг оси OY_2 до совмещения осей OX^* и OZ^* с осями OX_2 и OZ_2 соответственно. Обозначим угол $\angle Z^* OZ_2 = \gamma$.

Оси промежуточной координатной системы (X^*, Y^*, Z^*) можно определить через дополнительные плоскости: $X^* \equiv Q \cap P$, $Y^* \equiv P \cap R$, $Z^* \equiv R \cap Q$.

Теперь, зная исходную, промежуточную и конечную системы координат можно легко определить углы α , β и γ .

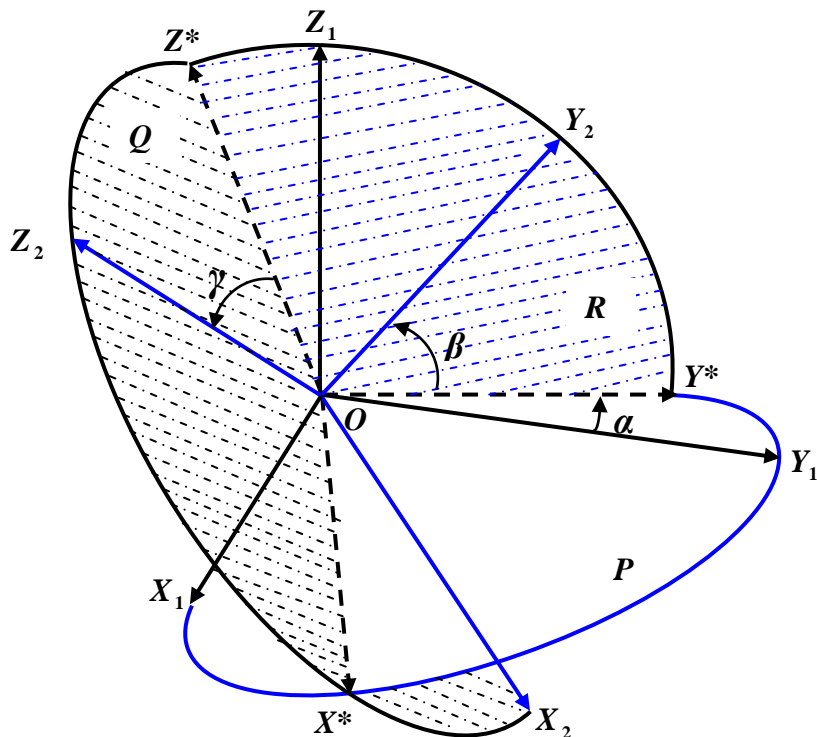


Рис. 6

Теперь опишем наши преобразования (повороты) на математическом языке.

Первый поворот имеет систему преобразований:

$$\begin{cases} X^* = X_1 \cdot \cos(\alpha) + Y_1 \cdot \sin(\alpha) \\ Y^* = -X_1 \cdot \sin(\alpha) + Y_1 \cdot \cos(\alpha) \\ Z_1 = Z_1 \end{cases}$$

Второй поворот соответственно:

$$\begin{cases} Y_2 = Y^* \cdot \cos(\beta) + Z_1 \cdot \sin(\beta) \\ Z^* = -Y^* \cdot \sin(\beta) + Z_1 \cdot \cos(\beta) \\ X^* = X^* \end{cases}$$

Третий поворот:

$$\begin{cases} Z_2 = Z^* \cdot \cos(\gamma) + X^* \cdot \sin(\gamma) \\ X_2 = -Z^* \cdot \sin(\gamma) + X^* \cdot \cos(\gamma) \\ Y_2 = Y_2 \end{cases}$$

Освобождаясь от промежуточных координат X^* , Y^* и Z^* окончательно получаем:

$$\begin{cases} X_2 = a_{11} \cdot X_1 + a_{12} \cdot Y_1 + a_{13} \cdot Z_1 \\ Y_2 = a_{21} \cdot X_1 + a_{22} \cdot Y_1 + a_{23} \cdot Z_1 \\ Z_2 = a_{31} \cdot X_1 + a_{32} \cdot Y_1 + a_{33} \cdot Z_1 \end{cases} \quad (4)$$

где $a_{11} = \cos(\alpha) \cdot \cos(\gamma) - \sin(\alpha) \cdot \sin(\beta) \cdot \sin(\gamma)$;
 $a_{12} = \cos(\gamma) \cdot \sin(\alpha) + \cos(\alpha) \cdot \sin(\beta) \cdot \sin(\gamma)$;
 $a_{13} = -\cos(\beta) \cdot \sin(\gamma)$;

$$\begin{aligned} a_{21} &= -\sin(\alpha) \cdot \cos(\beta); \\ a_{22} &= \cos(\alpha) \cdot \cos(\beta); \\ a_{23} &= \sin(\beta); \end{aligned} \quad (6)$$

$$\begin{aligned} a_{31} &= \cos(\alpha) \cdot \sin(\gamma) + \sin(\alpha) \cdot \sin(\beta) \cdot \cos(\gamma); \\ a_{32} &= \sin(\alpha) \cdot \sin(\gamma) - \cos(\alpha) \cdot \sin(\beta) \cdot \cos(\gamma); \\ a_{33} &= \cos(\beta) \cdot \cos(\gamma). \end{aligned} \quad (7)$$

Матрица $A = \begin{pmatrix} a_{11} & a_{12} & a_{13} \\ a_{21} & a_{22} & a_{23} \\ a_{31} & a_{32} & a_{33} \end{pmatrix}$ называется матрицей преобразования

координатной системы.

Вернёмся к нашей задаче и снова посмотрим на Рис. 5. Посредством вектора сдвига можно привести системы X_1, Y_1, Z_1 и X_2, Y_2, Z_2 к общему началу координат O_2 .

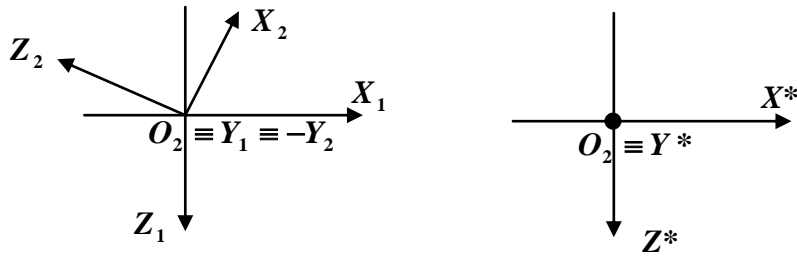


Рис. 7

Здесь плоскость Q – это плоскость рисунка, плоскость P проходит через ось X_1 и перпендикулярно плоскости рисунка, плоскость R проходит через ось Z_1 и тоже перпендикулярно плоскости рисунка. Откуда находим: $\alpha = \beta = 0^\circ$, $\gamma = 60^\circ$.

Матричные элементы задаются формулами (5), (6), (7). Можем найти матрицу перехода.

$$A_1 = \begin{pmatrix} 1/2 & 0 & -\sqrt{3}/2 \\ 0 & 1 & 0 \\ \sqrt{3}/2 & 0 & 1/2 \end{pmatrix}.$$

Теперь преобразование координат, связывающие уравнения первого и второго полуконусов можно записать в матричной форме:

$$(X_2 \ Y_2 \ Z_2) = A_1 \cdot \begin{pmatrix} X_1 \\ Y_1 \\ Z_1 \end{pmatrix}. \quad (8)$$

Выражение (8) соответствует записи во второй строчке совокупности (3) $(X_1, Y_1, Z_1) \xrightarrow{A_1} (X_2, Y_2, Z_2)$.

Для $(X_2, Y_2, Z_2) \xrightarrow{A_2} (X_3, Y_3, Z_3)$ вектор сдвига будет иметь вид:

$$\overrightarrow{s_{23}} = \overrightarrow{O_2 O_3} = \frac{1}{2} l \cdot (\sqrt{3} \cdot \vec{k} - \vec{i}), \text{ матрица перехода } A_2 = \begin{pmatrix} -1/2 & 0 & -\sqrt{3}/2 \\ 0 & 1 & 0 \\ \sqrt{3}/2 & 0 & -1/2 \end{pmatrix}.$$

Вся работа передана в РАН